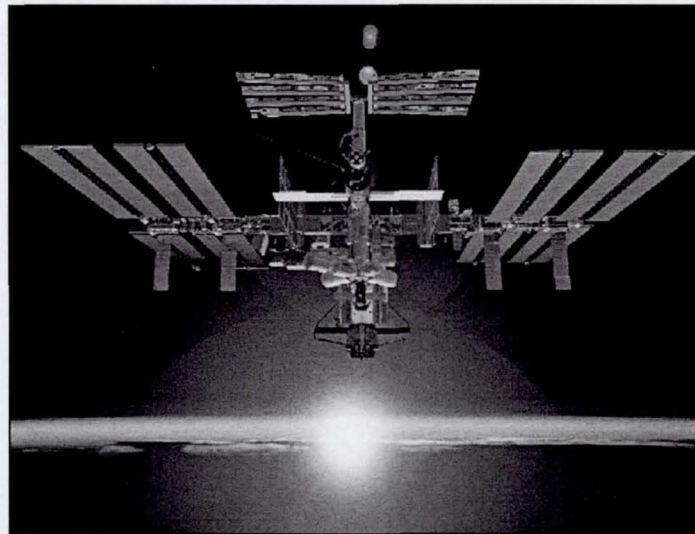
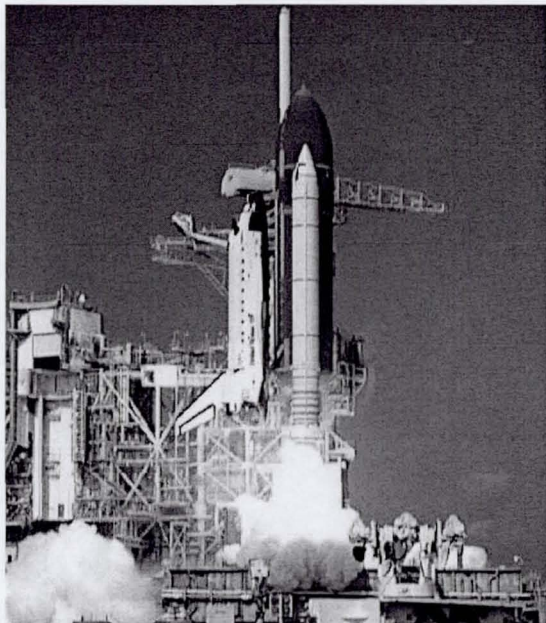
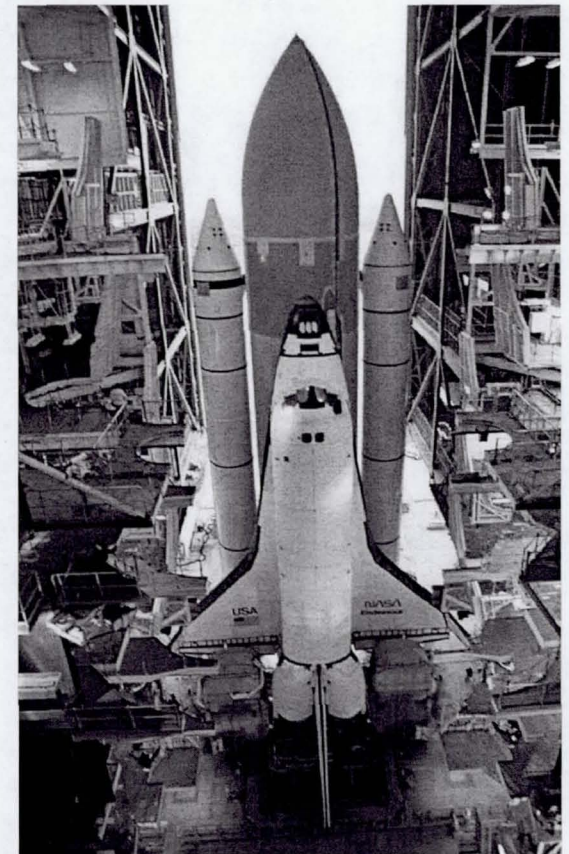
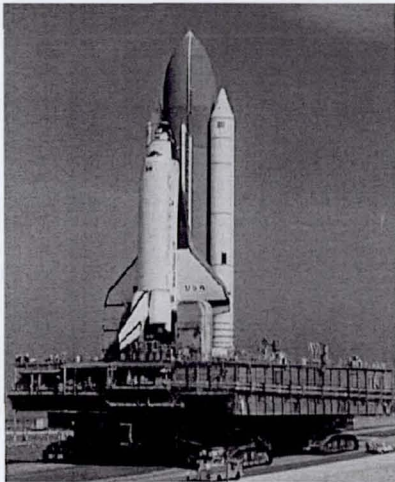


Un vistazo a las operaciones del transbordador espacial de NASA y de la ISS (Estación Espacial Internacional)

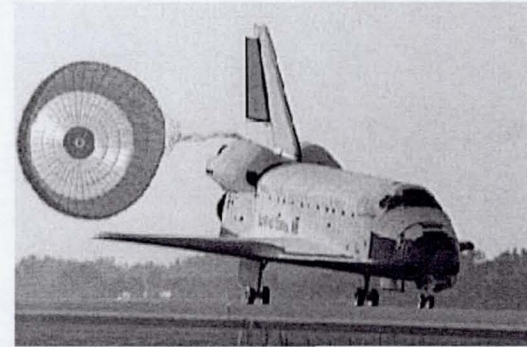


José M. Hernández
Jefe de área,
Materiales y Procesos



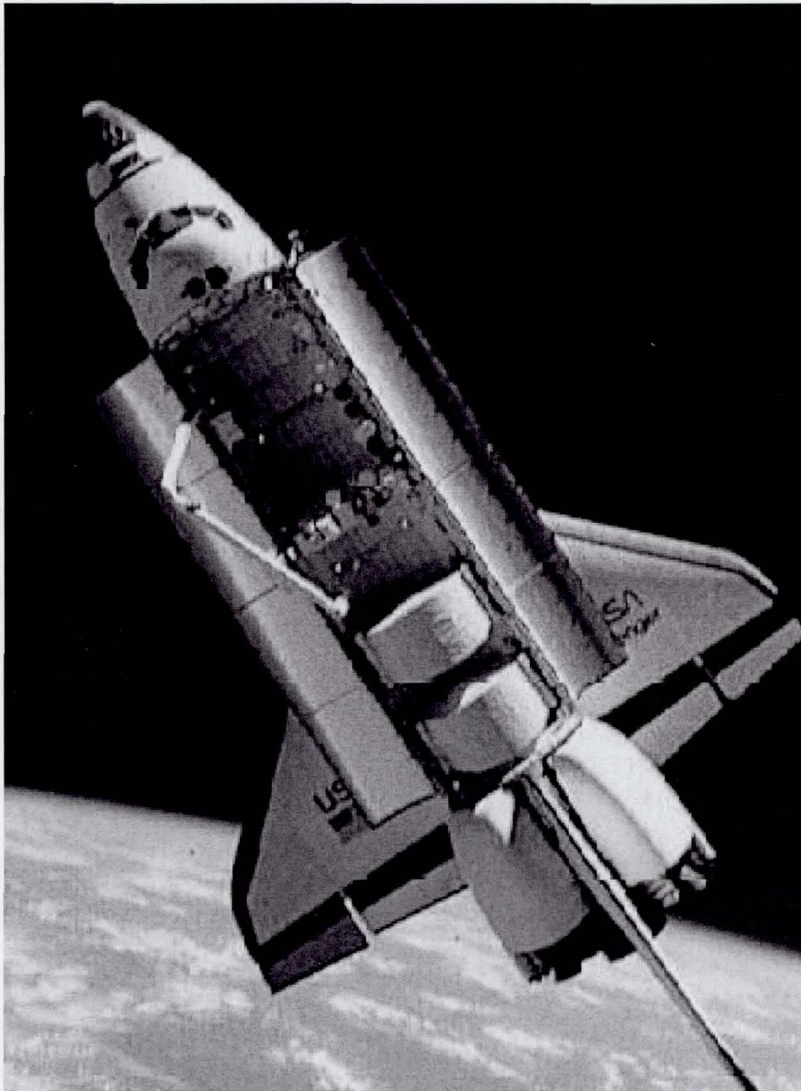


Construcción de un vehículo espacial reutilizable: El comienzo del transbordador



- Limitaciones de diseño:
- El sistema debe apegarse al estatuto 185-402 kilómetros sobre la órbita
- La aceleración no debe ser mayor a 3g's
- Aterrizaje en pista (342-362 Km/h)
- Mantener velocidad en órbita de 7743 m/sec (aprox)
- Bordes de nariz y alas: 1537-1649 grad C
- Otras áreas del ala/fuselaje 1260 grad C
- 18,000 kg/18m largo del área de carga

Antecedentes

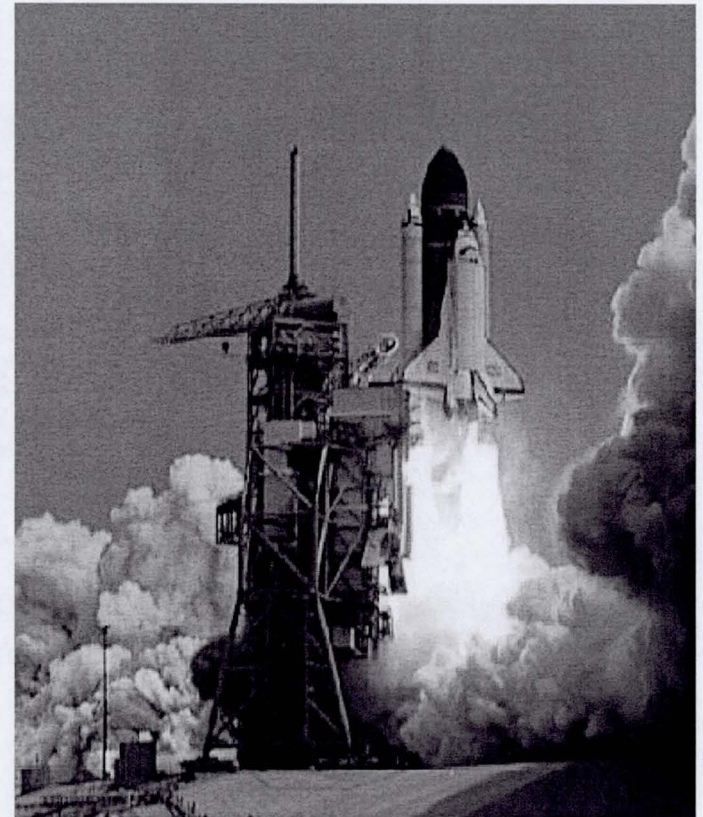
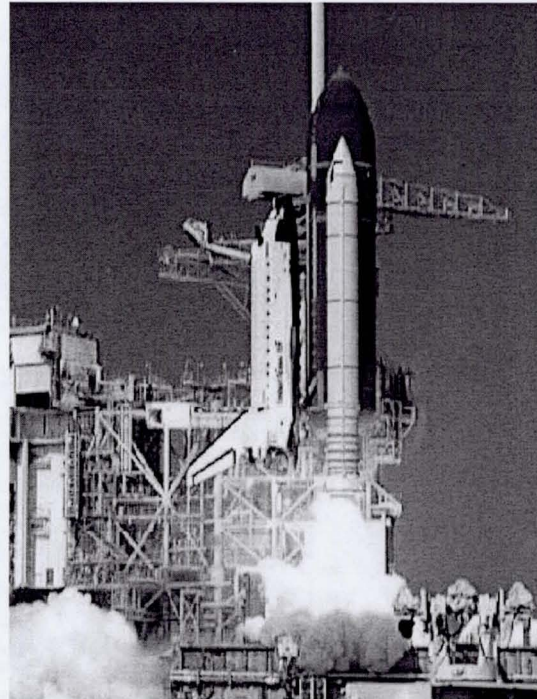
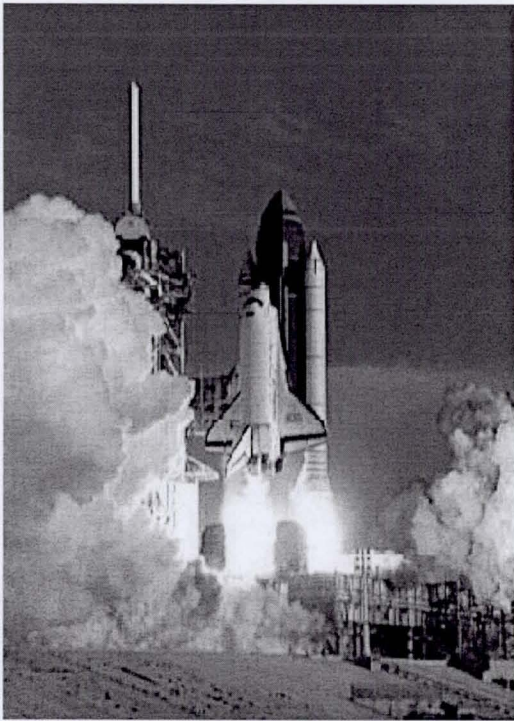


Rockwell fue elegido en 1972 como el principal contratista

Muchos “Comienzos”

- Vehículo espacial con alas
- Sistema de protección termal reutilizable
- Motores de propulsión con alta presión LO₂, LH₂ reutilizables
- Rangos de velocidad orbital-hipersónica-subsonica

Transbordador Espacial: El sistema de propulsión



Cohete

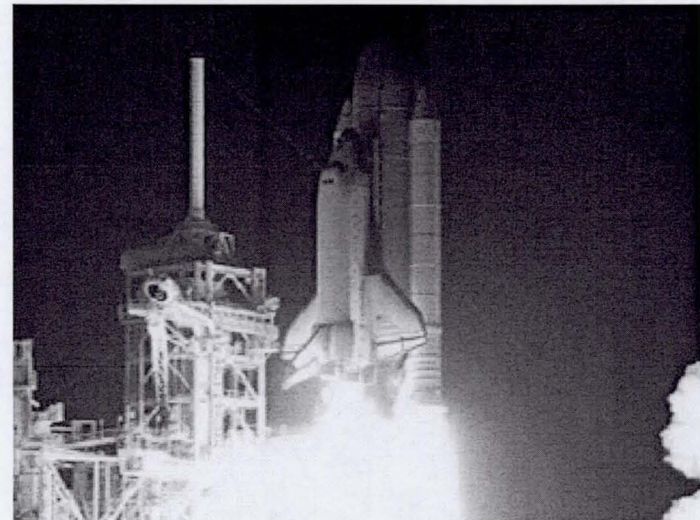
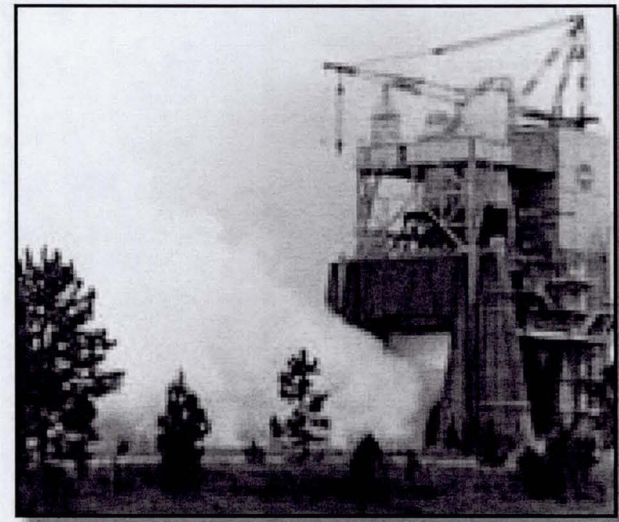
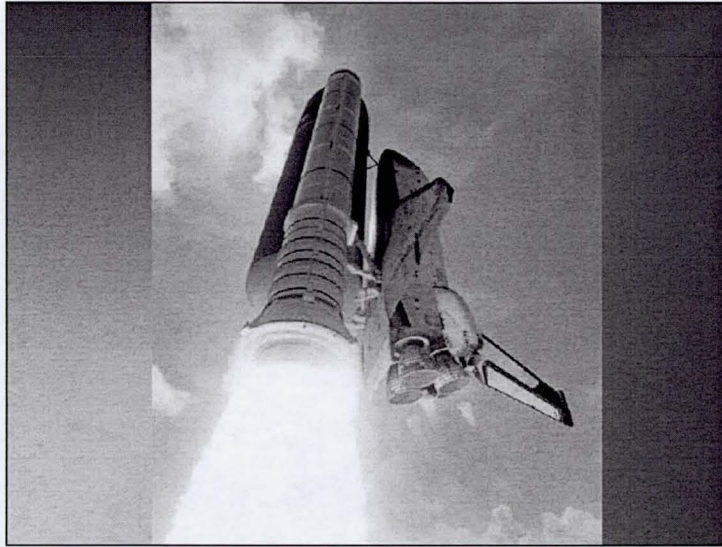
Impulso

Límites estructurales

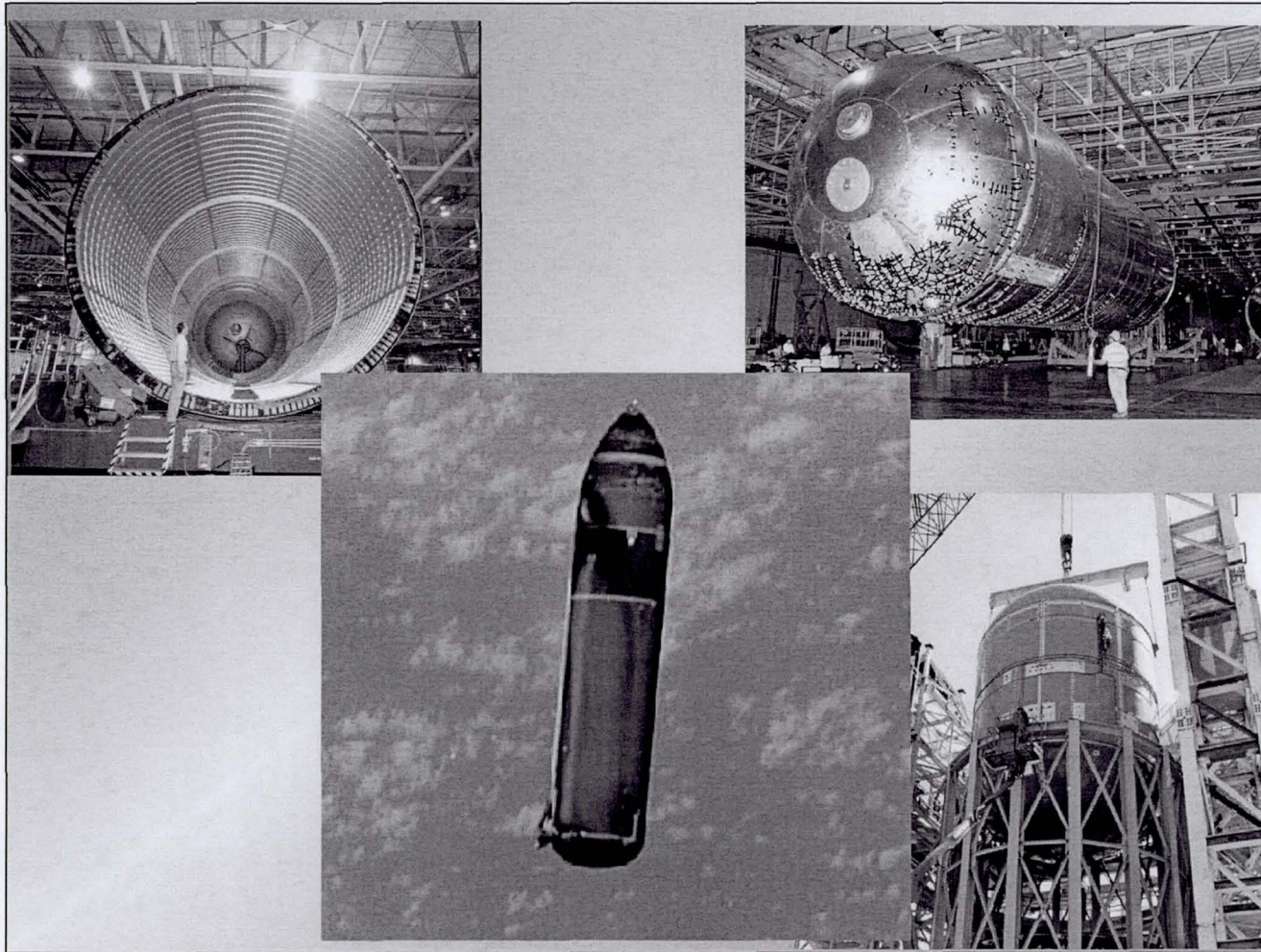
Dirección y control

Límites de calor

Transbordador Espacial: Motores Principales

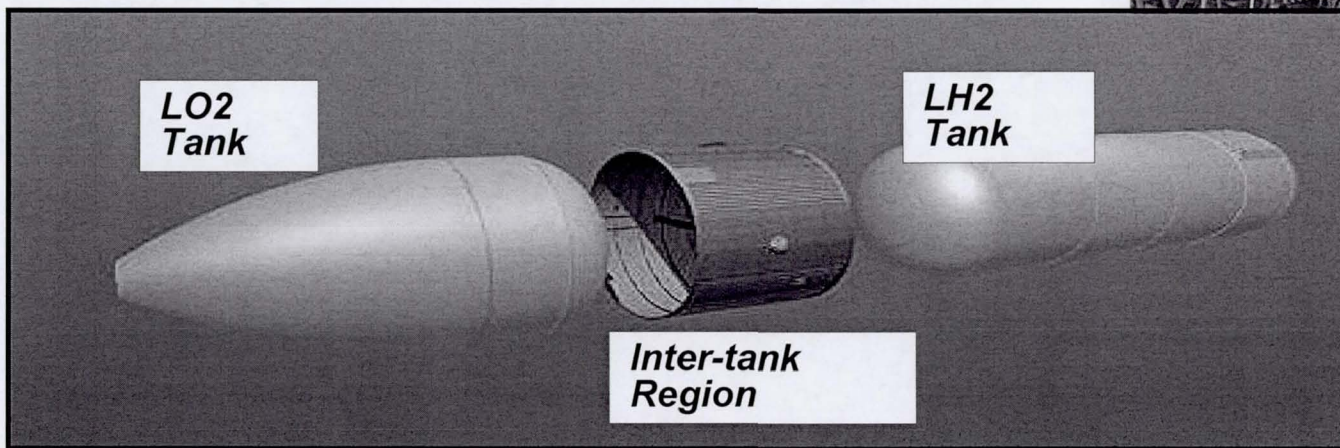
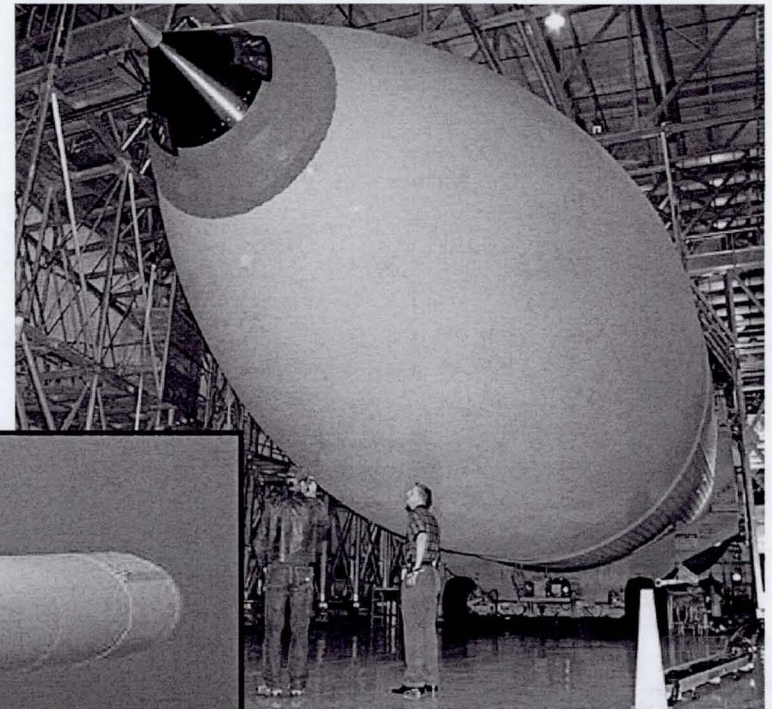


Tanque externo: Fabricado en las instalaciones de ensamblaje Michoud en Nueva Orleans



Tanque externo

- 47 m de largo y 8.41 m de diámetro
- 2,027,650 litros de cyro propulsores (720,000 kg)
- Quilla estructural 3,150,000 kg impulso
- 3,923 lt/sec a través de
43cm de líneas de alimentación
a SSMEs

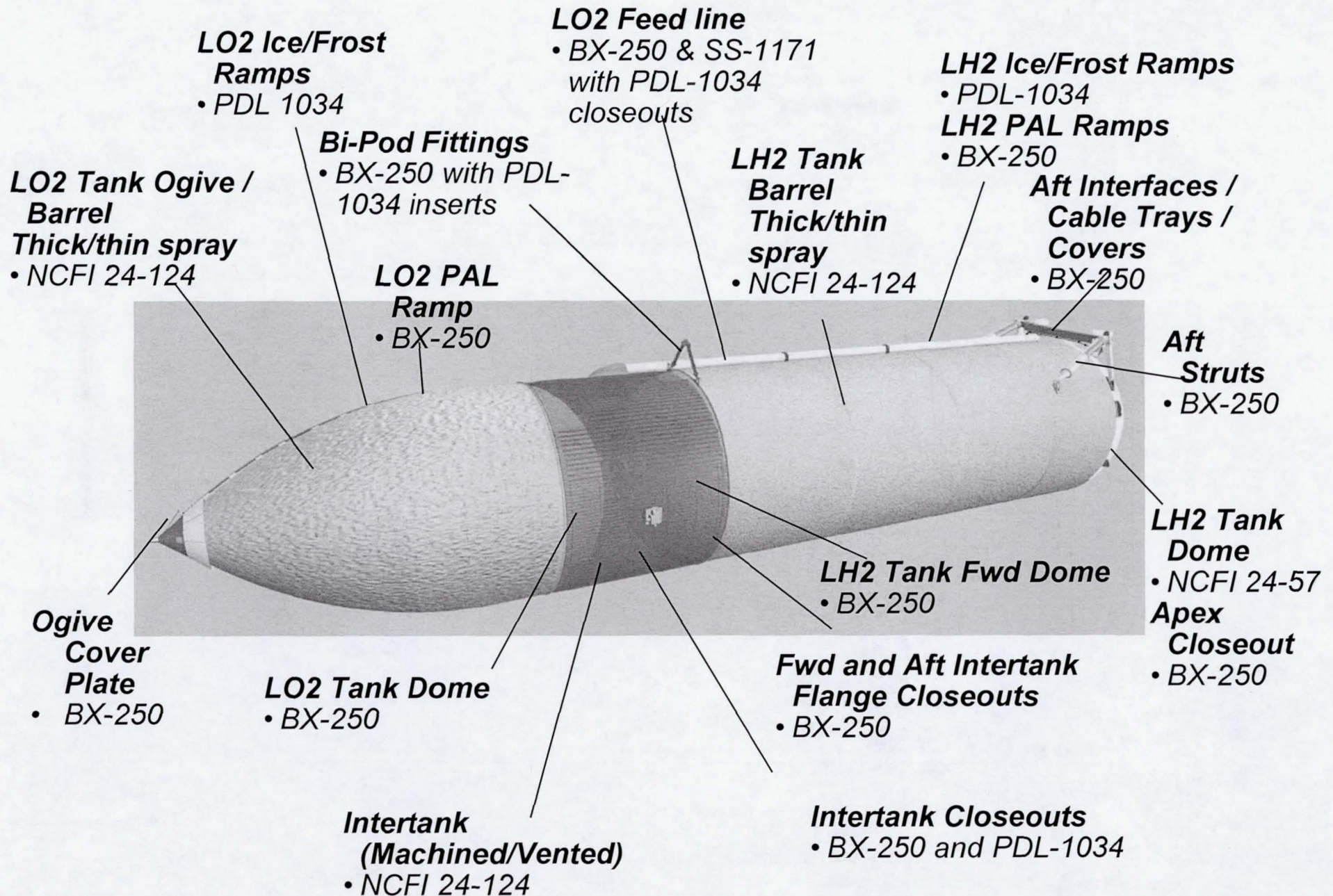


Tanque externo

- LO2 almacenado a -183 grad C
- LH2 almacenado a -253 grad C
- Espuma aislante regularmente 2.54cm de grosor
- Fresco al tacto por la espuma
- Fricción aerodinámica de 982 grad C en el ascenso
- Se han construido 3 versiones del tanque
 - 2219 Al
 - 2219 Al con titanio (10000 lbs)
 - 2195 Al-Li super/aleación (7500 lbs)



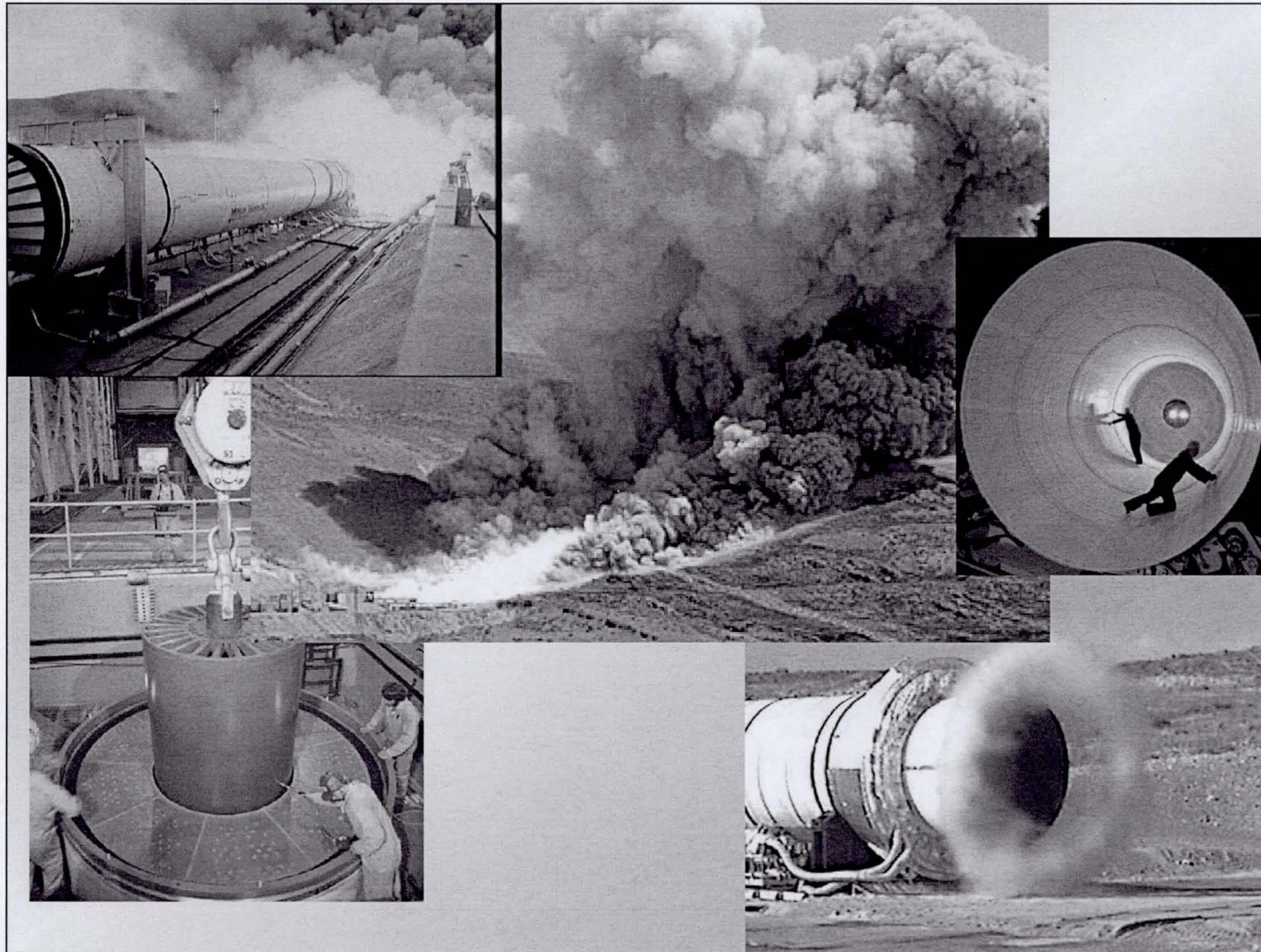
ET Foam Insulation



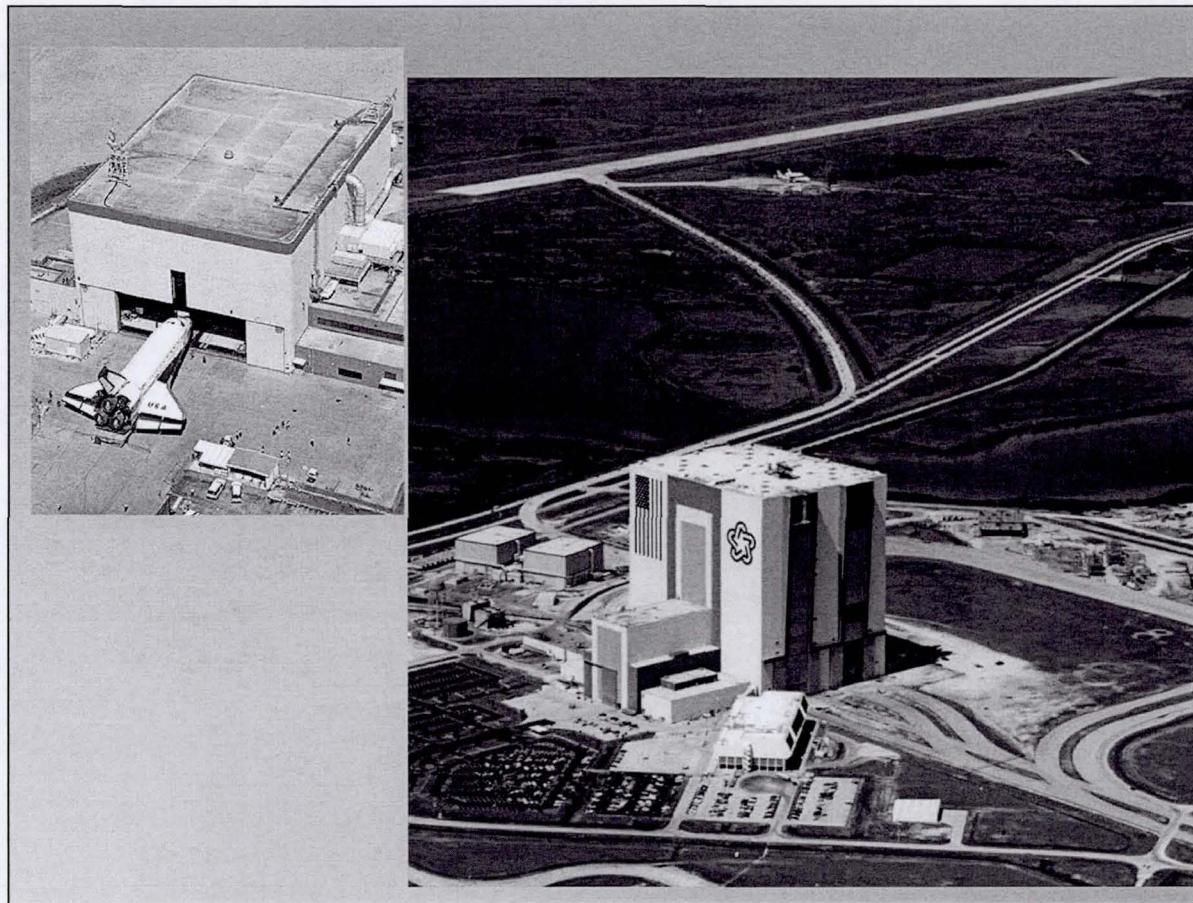
ET Foam Insulation

- Four low density polyurethane and polyurethane modified isocyanurate foams
 - Blowing agent provides insulation and cell structures
 - BX-250, PDL 1034, NCFI 24-124, NCFI 25-57
- Blowing agent change from a CFC to an HFC
- Application
 - Polyurethane foam with chlorofluorocarbon applied by hand in some areas
 - Spray on then machined to a thickness of one inch
- Al substrate heated to get good curing and max adhesive strength
- Foam variability has been seen (voids and pockets) seen at the layers when sprayed on.

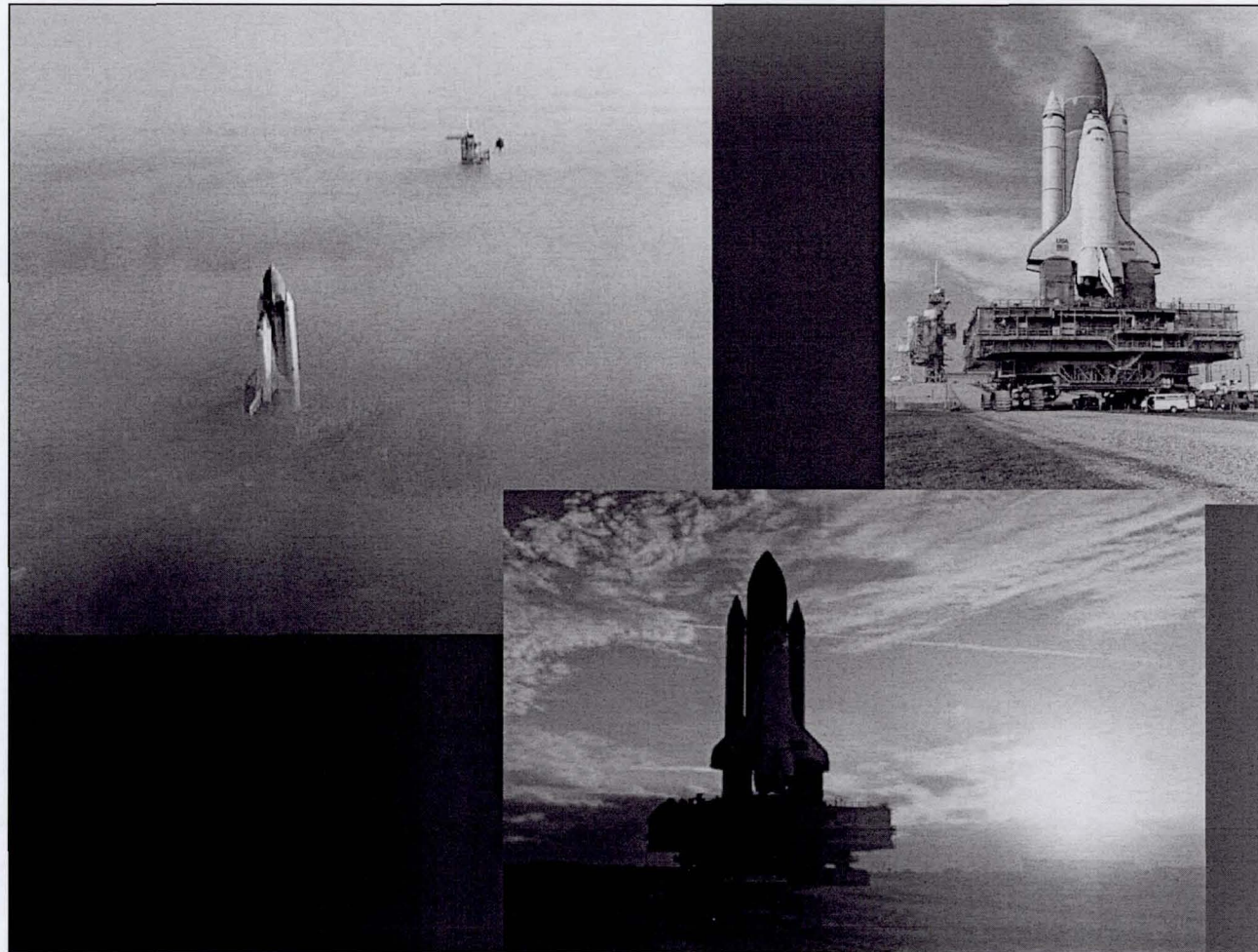
Motores Sólidos Reutilizables del Cohete



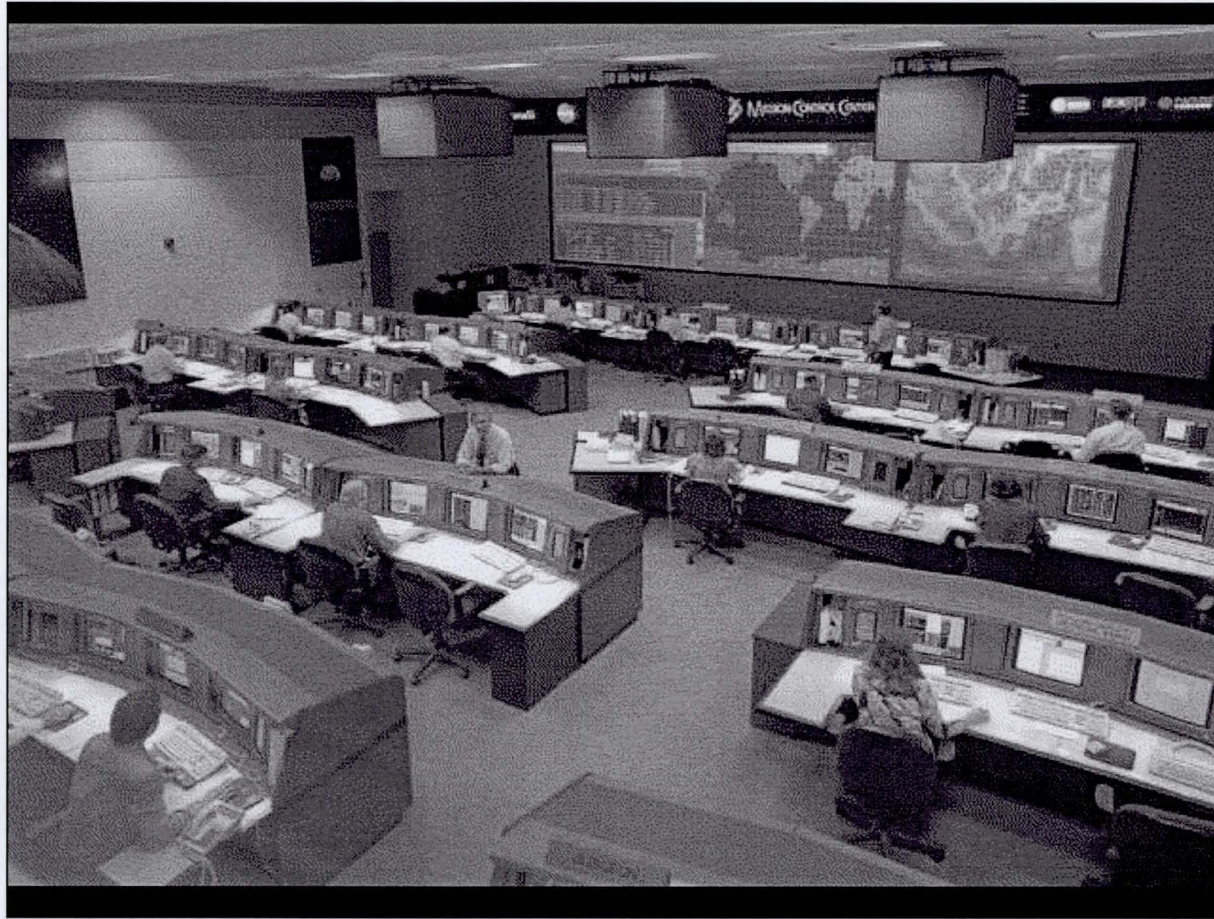
Edificios de procesamiento y ensamblaje del transbordador



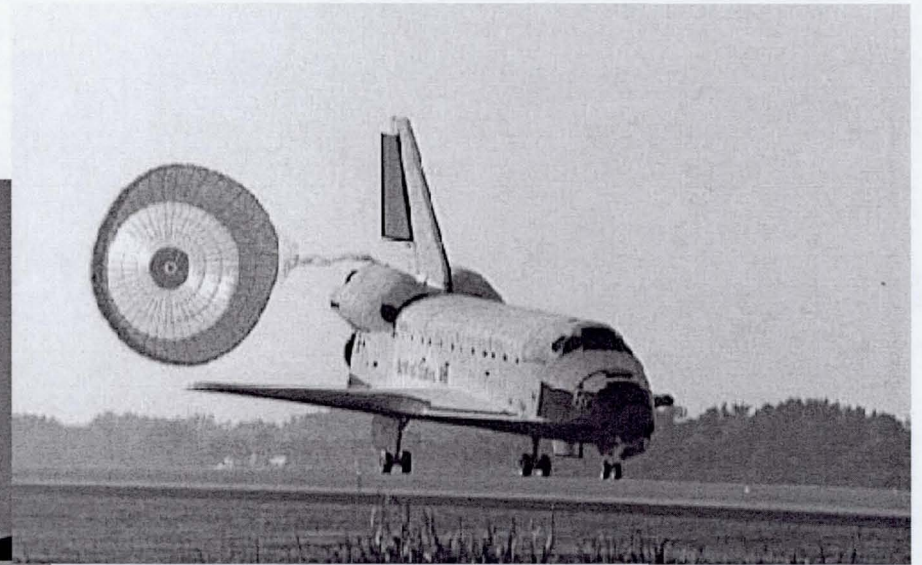
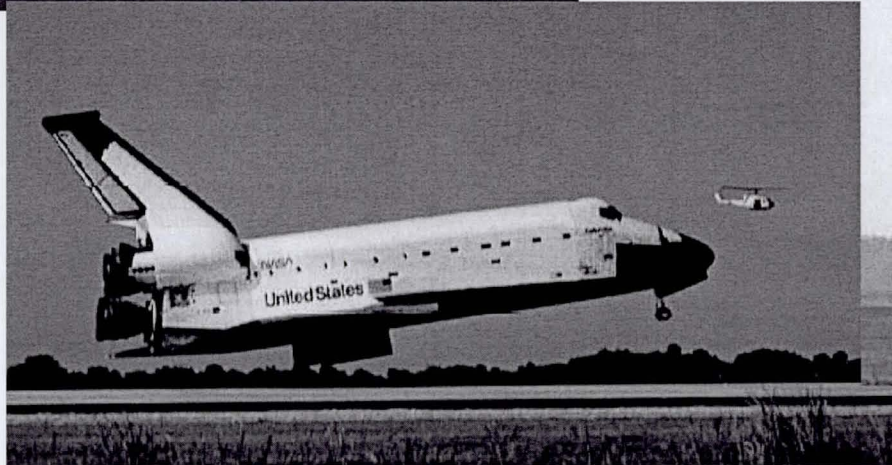
Transportador y plataforma móvil del lanzamiento



Centro de control de misión en JSC



Instalaciones de aterrizaje en KSC, Edwards AFB, White Sands y otros



Planeo

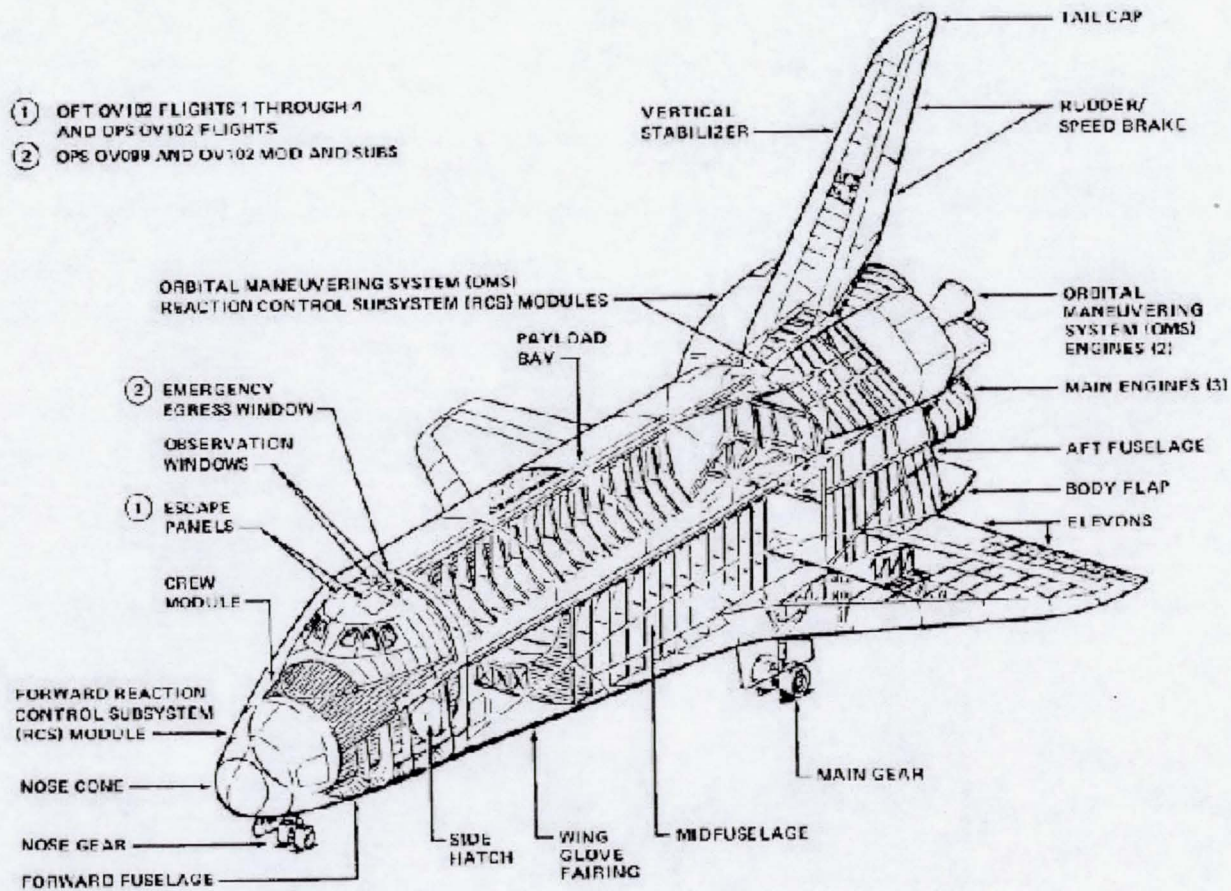
Re-entrada

Características de vuelo

Redundancia del diseño

Dirección y Control

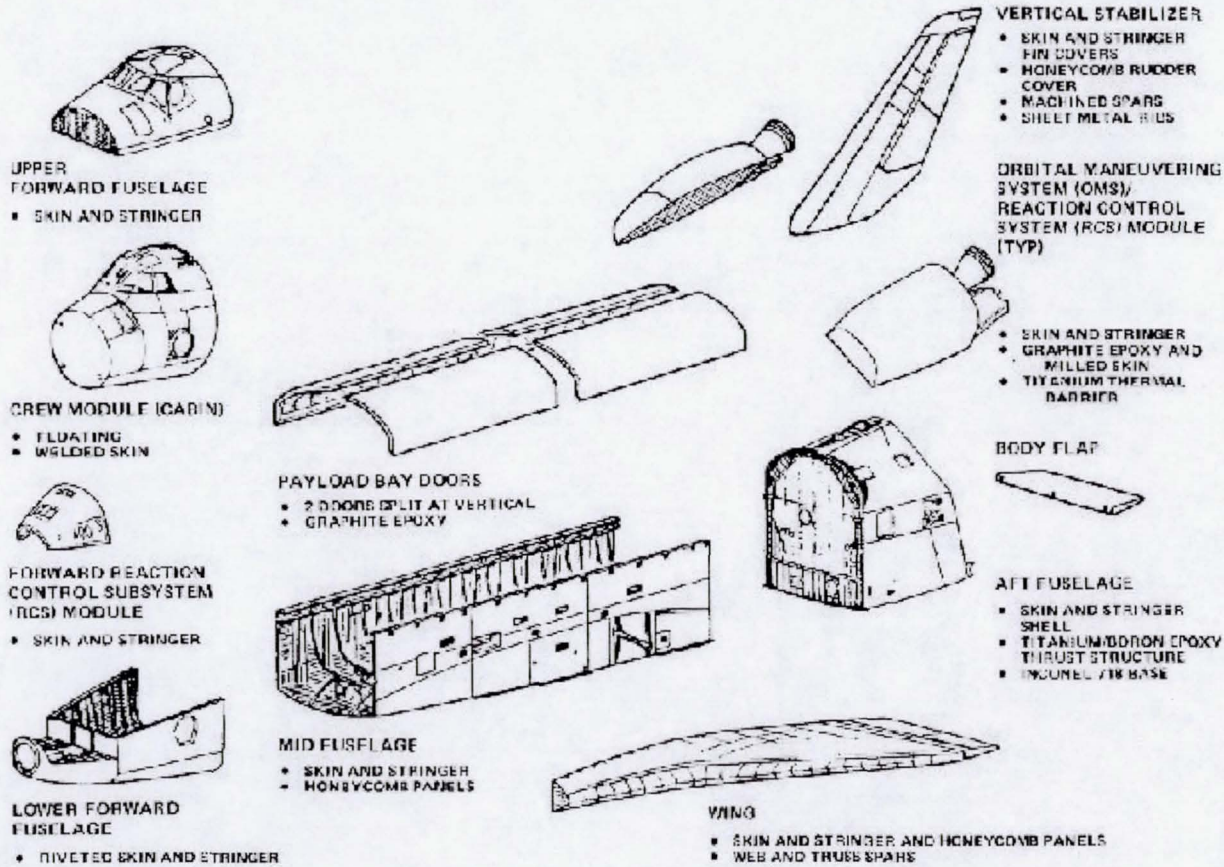
Estructura del Vehículo



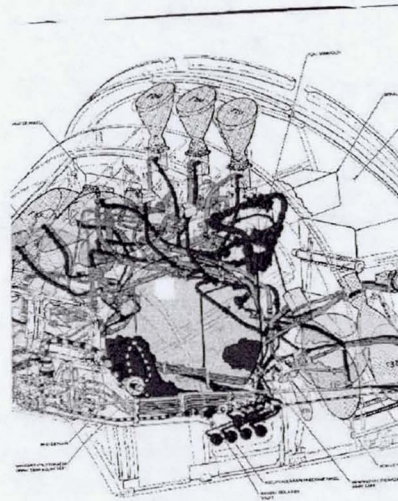
(a) Cutaway view.

Figure 1-3 — Orbiter structures.

Estructura del Vehículo: Vista "expandida"



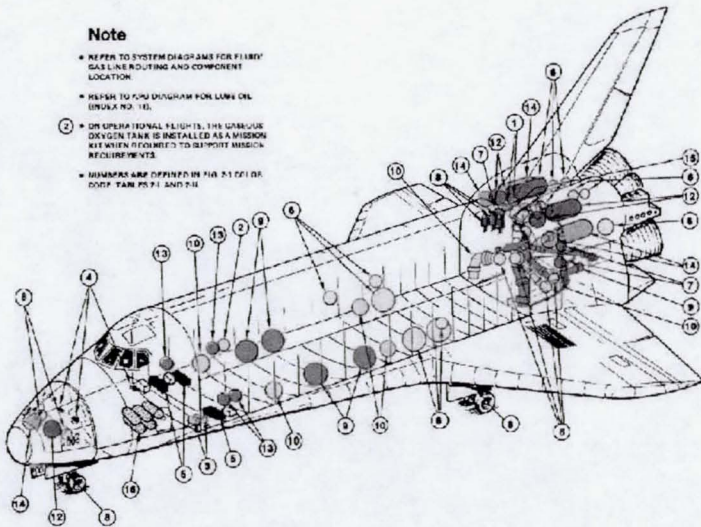
(b) Exploded view.
Figure 1-5 - C-70 U-330.



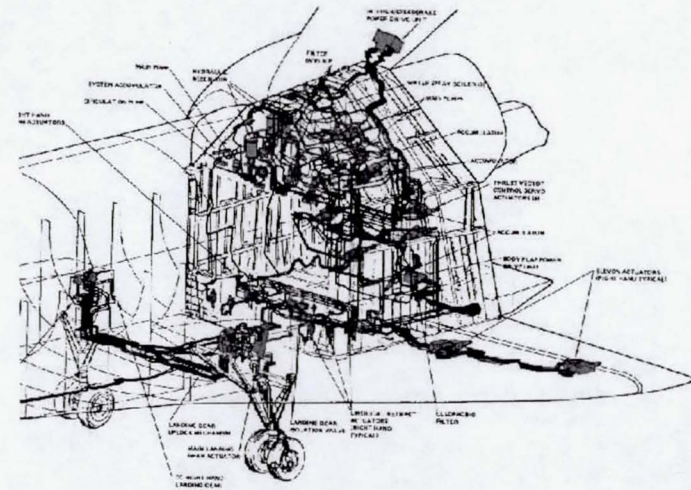
Sistema delantero del control de reacción

Note

- REFER TO SYSTEM DIAGRAMS FOR FLUID GAS LINE ROUTING AND COMPONENT LOCATION.
- REFER TO FIG DUNHAM FOR LINK OR INDEX NO. 18.
- ② ON OPERATIONAL FLIGHTS, THE GABAGOR OXYGEN TANK IS INSTALLED AS A MISSION KIT WHEN REQUIRED TO SUPPORT MISSION REQUIREMENTS.
- REMARKS ARE OFFPRINTS IN FIG 51 OF OR DOT7 TAN 7071 AND 711.

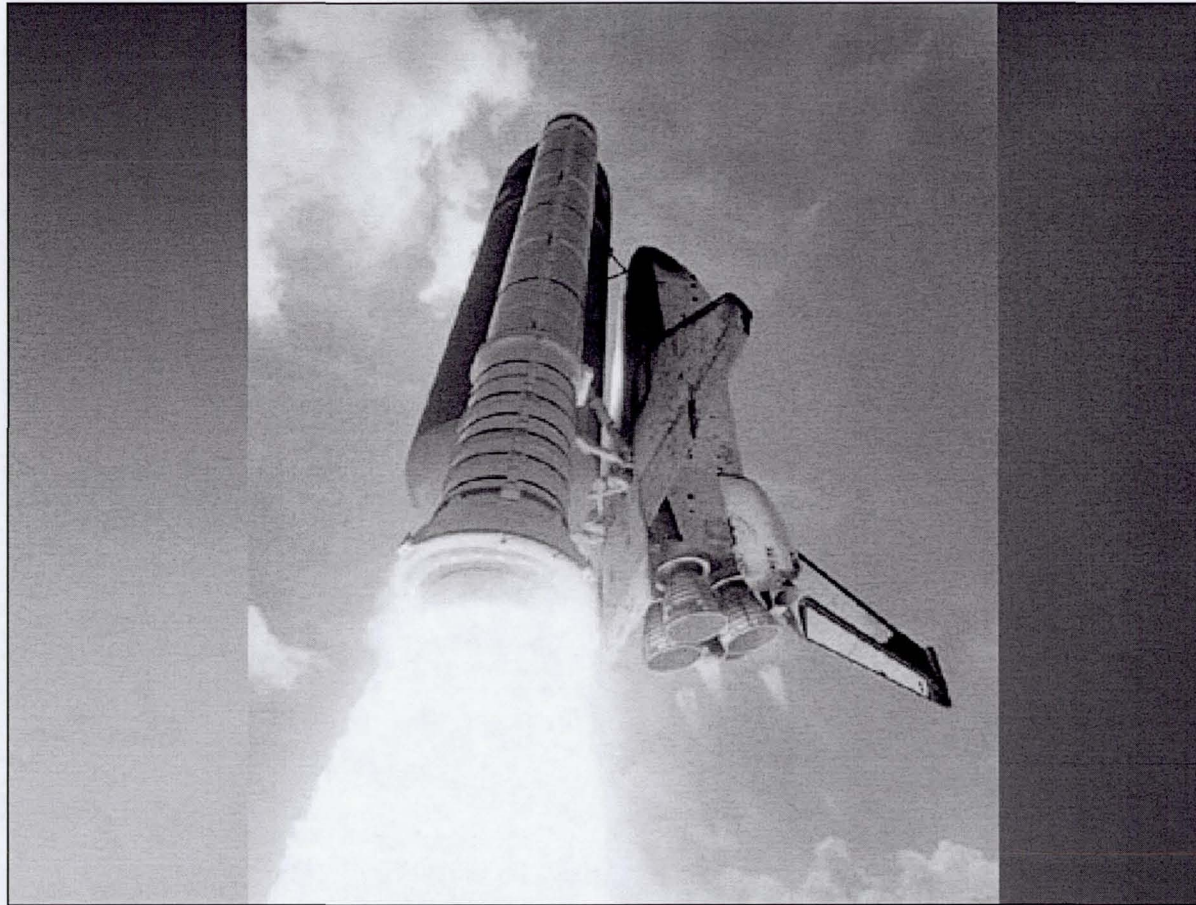


Líneas del tanque de fluidos y gases

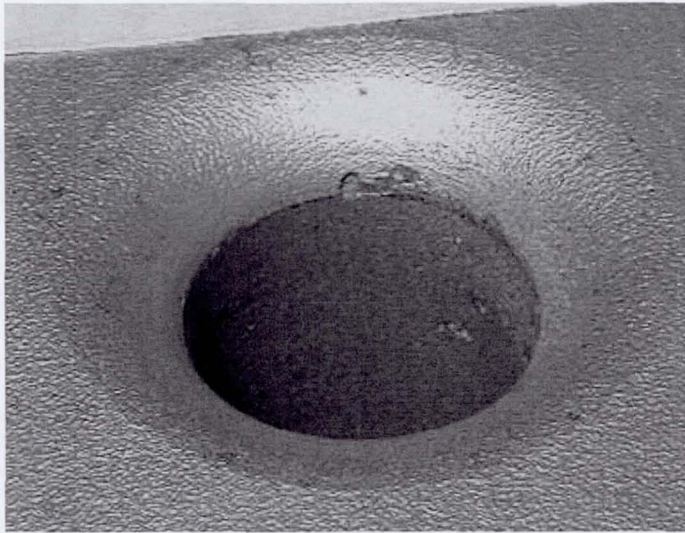


Hidráulica

Anomalías Recientes del Transbordador



Corrosión



Tren de aterrizaje principal
- corrosión intergranular
peor caso de picaduras
0.9779 mm

Guías de los birlos

Cuerpo del alerón – marcado con
hoyos debido a una cuenta
superficial



Grietas en las líneas de flujo

Problema principal:

Grietas encontradas en las líneas de flujo de LH2 del SSME (Space Shuttle Main Engine) Motor principal del transbordador

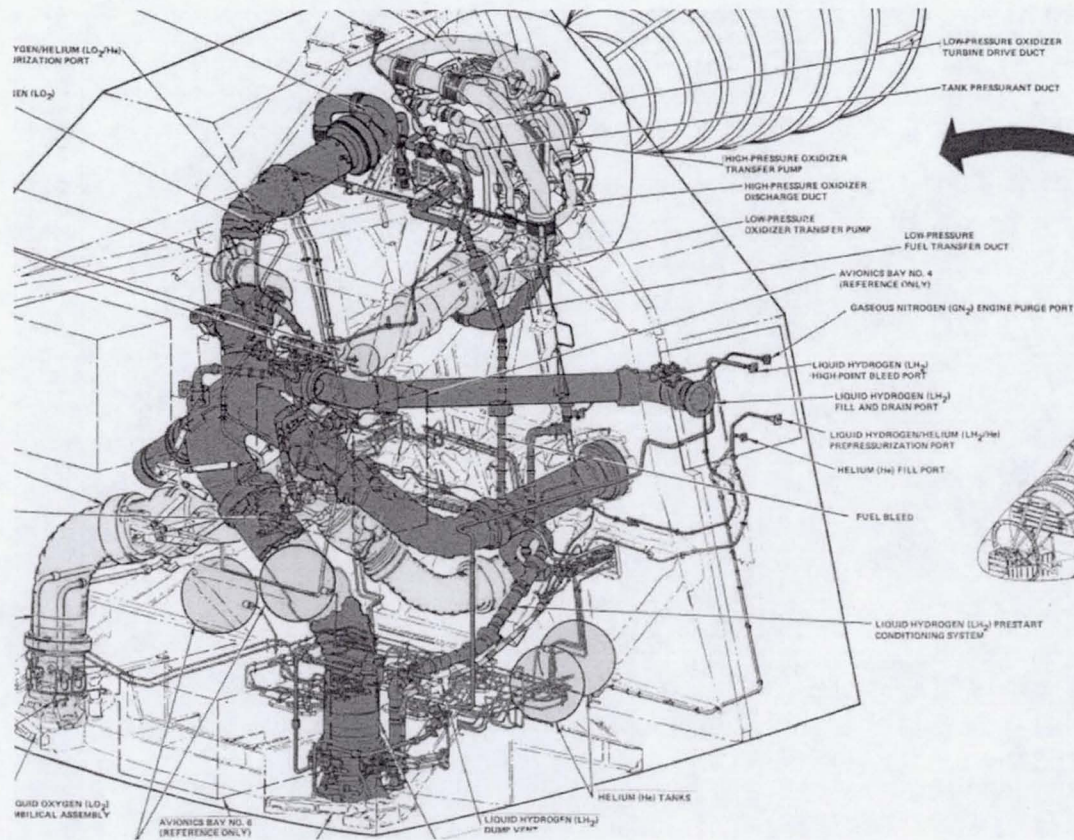
Preocupaciones

Ingestión metálica de FOD en los motores

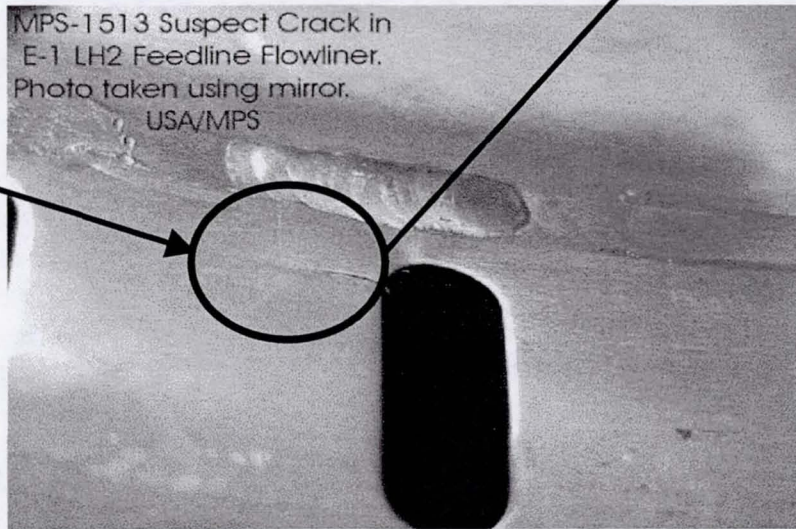
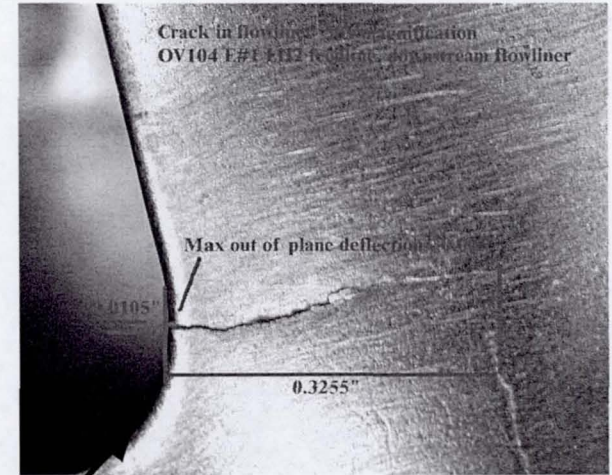
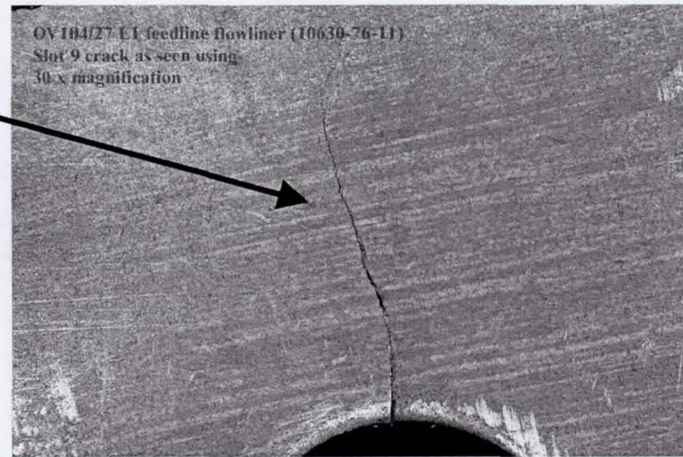
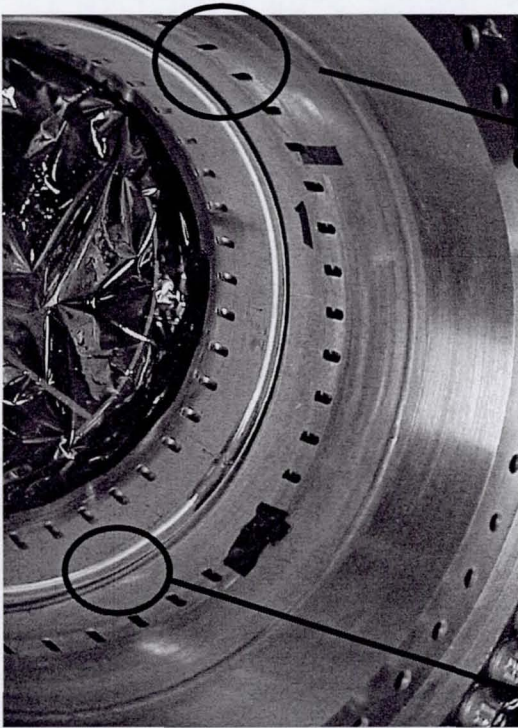
Pérdida de integridad en las líneas de flujo

Interrupción del campo de flujo que conduce a las cavidades de la turbo-bomba

Grietas en las líneas de flujo



Grietas en las líneas de flujo



Grietas en las líneas de flujo

- La causa más probable determinada fué la alta fatiga del ciclo
 - Presión/termal/vibración/tensión residual
 - Mecanismo de baja tensión
 - No productos corrosivos presentes
 - SEM (Microscopio Electrónico de Exploración) las micrográficas demostraron estrias similares a las vistas por la alta fatiga del ciclo
 - Las pruebas de laboratorio no dieron ninguna indicación de fragilidad a causa de H₂

Grietas en las líneas de flujo

Reparación: La soldadura fue seleccionada

Regresar a la geometría como fue diseñada

Técnica comprobable con NDE (Non-Destructive Evaluation)

Bajo daño ancilar posible

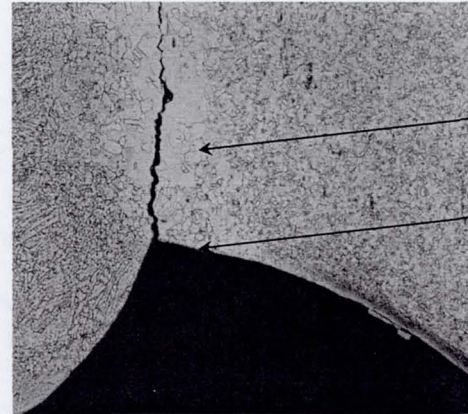
Puede utilizarse en todas las grietas en todos los vehículos

Se consideraron 7 técnicas de soldadura

Decidida una soldadura, se pasa calor, corona rasante, se restaura el radio de la ranura, paso de calor sobre el borde, se pule

Técnica de soldadura *Grietas en las líneas de flujo*

Como se ilustra

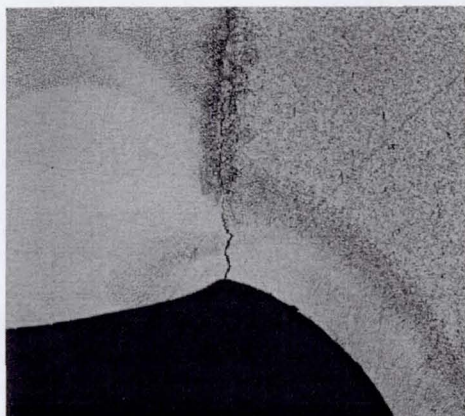


Crecimiento del granulado

Recristalización

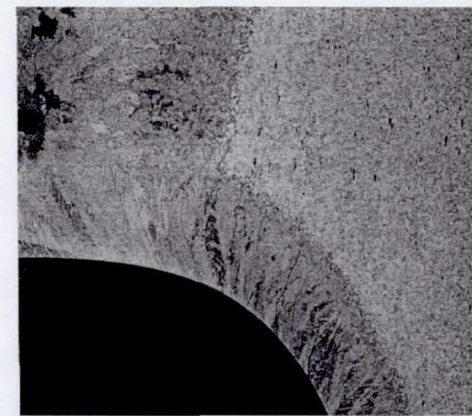
Deformación remanente
como se ilustra

25x



25x

Paso de calor
con autógena



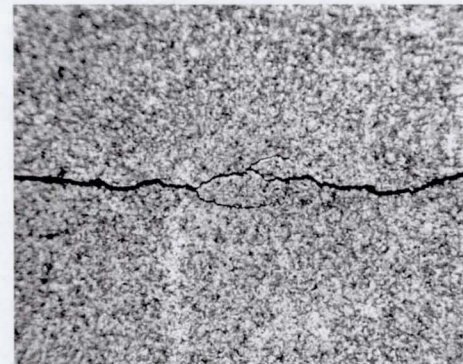
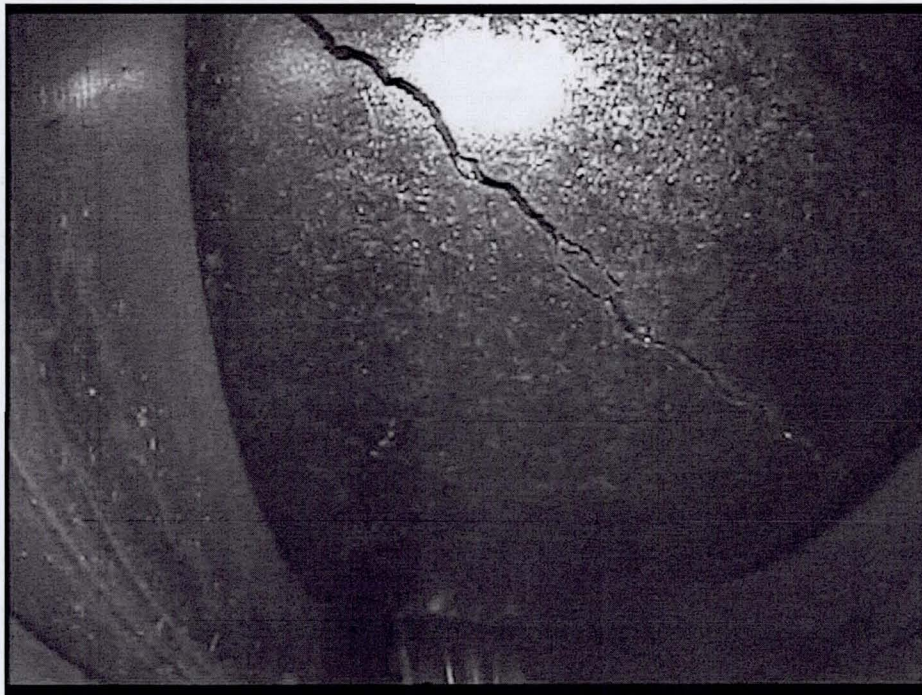
25x

Paso de calor con autógena
con corona "emplumada"

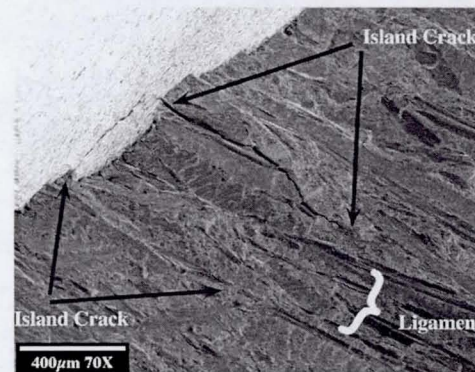
Grieta de la bola BSTRA

OMRSD [Operation and Maintenance Requirements and Specifications Document]

Inspección de una línea de alimentación de 43.18 cm de LO2 del OV-103 reveló una grieta en la bola del (BSTRA) [Ball Strut Tie Rod Assembly] cerca del múltiple de LO2

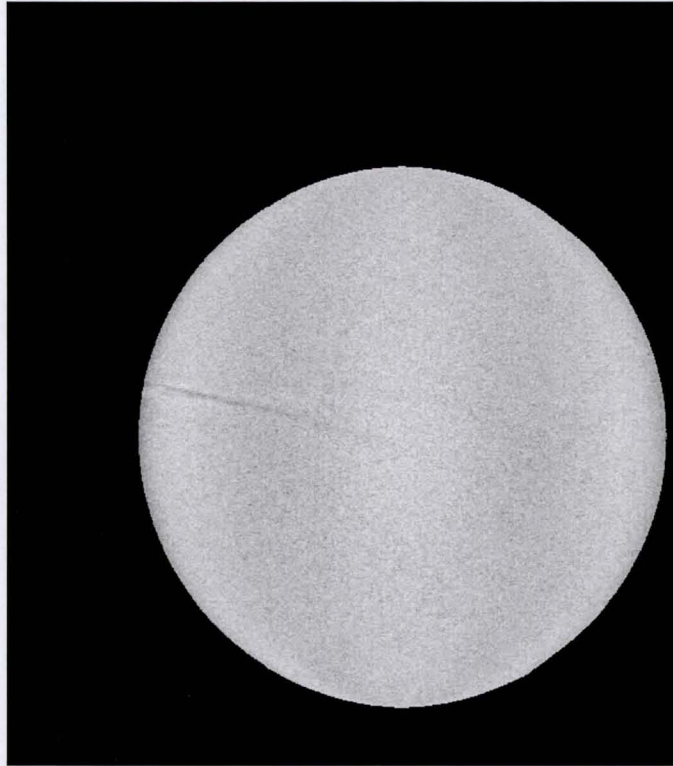


Optical Observation of Potential FOD Island During 1.75 Inch Diameter Ball Compression Testing

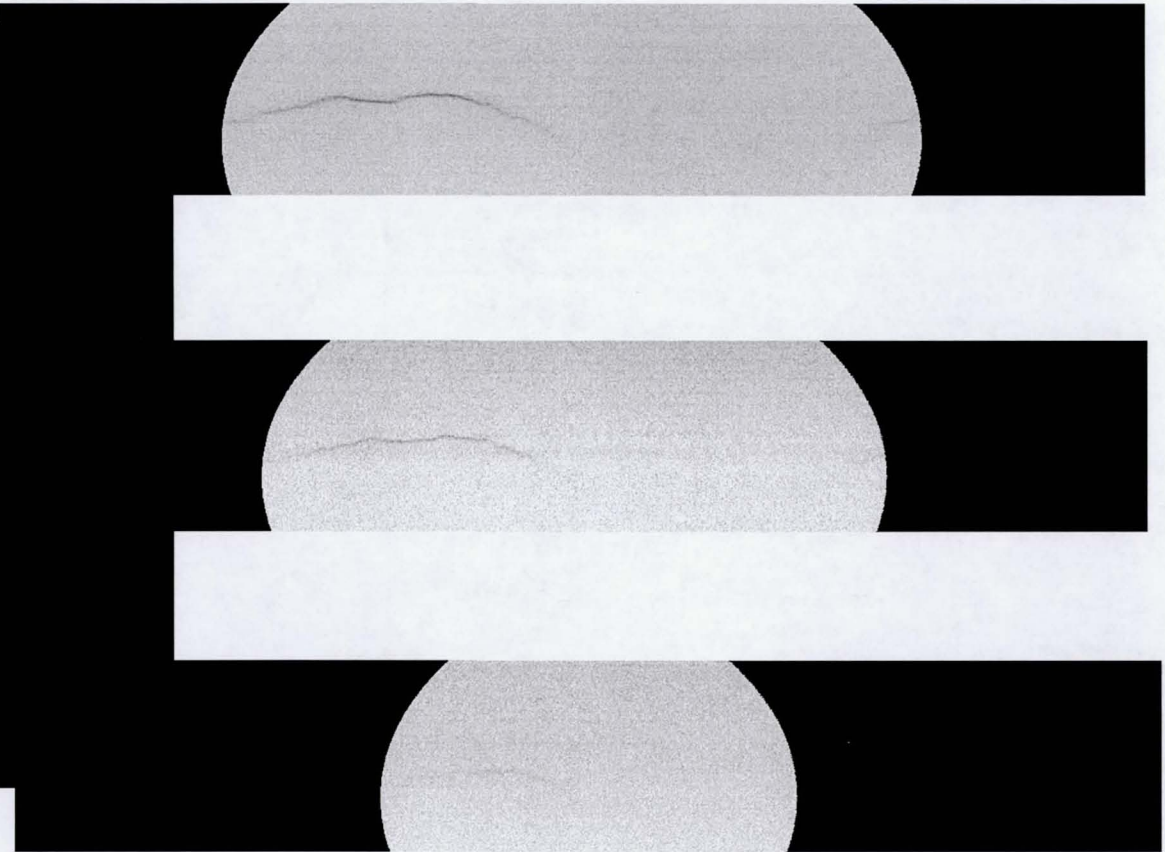


SEM Observation of Potential FOD Island After Opening the Main Crack

Grieta de la bola BSTRA



Radiografía digital mejorada mostrando una vista de profundidad de la grieta



Diagramas de la extracción de la coraza en diversas profundidades de la bola

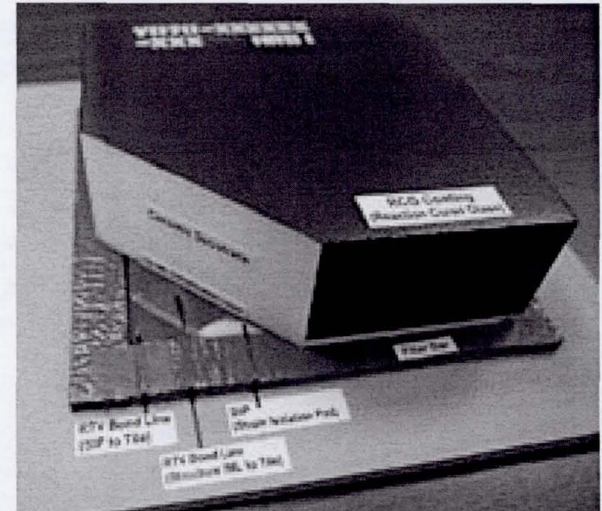
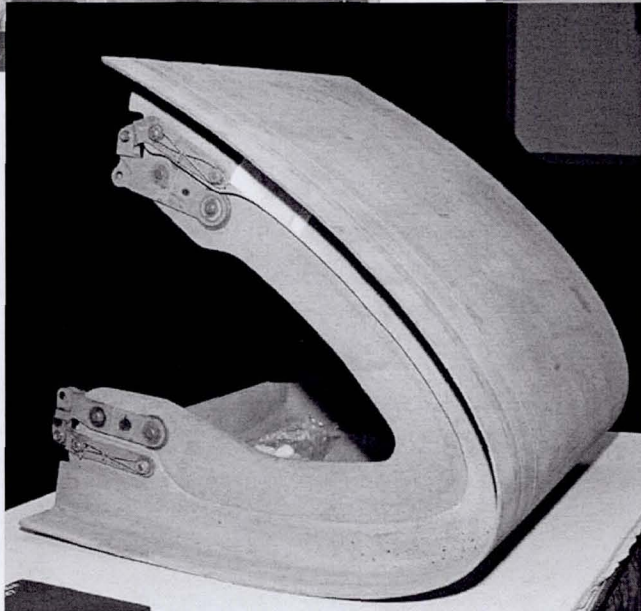
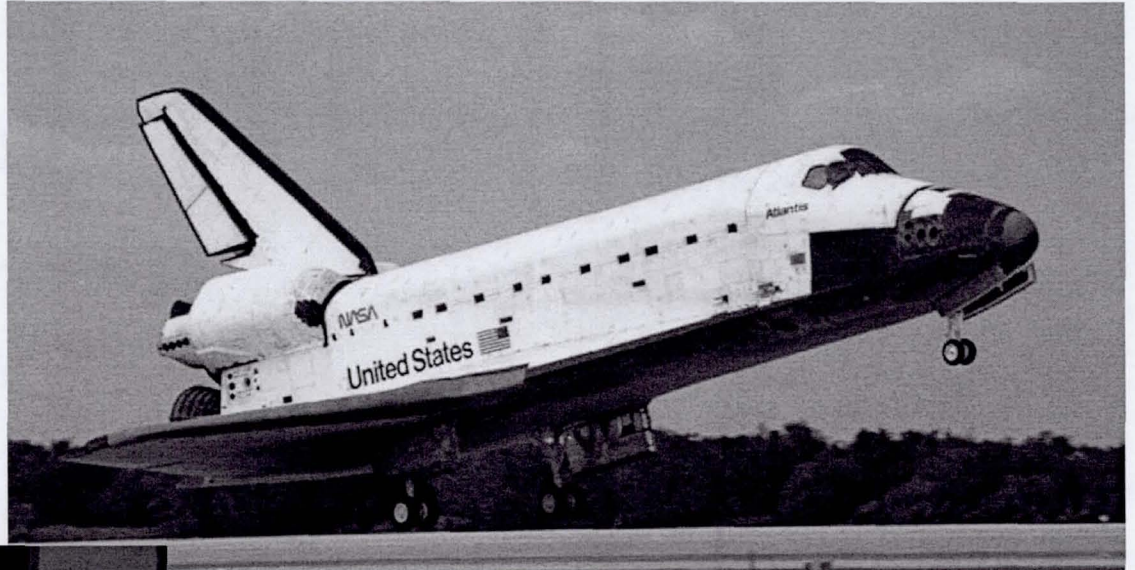
Sistema de protección termal

- Protección para temperaturas sobre 177 C
 - Mantener temperaturas de la coraza de la nave (Al y grafito pegado)
- Sistema pasivo
- La meta de diseño fueron 100 misiones
- Operar de -157 a 1648 C
- Aplicada una piel externa
 - Forma aerodinámica determinada
 - Debe sostener las fuerzas inducidas por desviaciones en la armadura de la nave

Sistema de protección termal

- Reinforced Carbon-Carbon (RCC) [Carbón-Carbón reforzado]
 - Temperaturas entre 1538-1649 C
 - 22 paneles únicos del borde de la ala, casquillo de la nariz, y sellos-T
- Losetas negras
 - Temperaturas debajo de 1260 C
 - Ultimamente actualizado a un un compuesto refractario
- Losetas blancas
 - Temperaturas debajo de 649 C
 - Sustituído más adelante por un compuesto flexible “manta”
- Mantas blancas
 - Temperaturas debajo de 371 C
 - Filtro revestido de Nomex

Sistema de protección termal



Sistema de Protección Termal : RCC

Situación Actual: Reparación en órbita

- Cada sección que conduce a los bordes/nariz tienen una geometría única
- Los materials deben de ser capaces de pre-almacenarse y estar listos para usarse
- Miembros de la tripulación [EVA] realizan la reparación
- Ambiente de trabajo inestable
- Cargas aerotermales
- Tamaño del agujero a proteger.

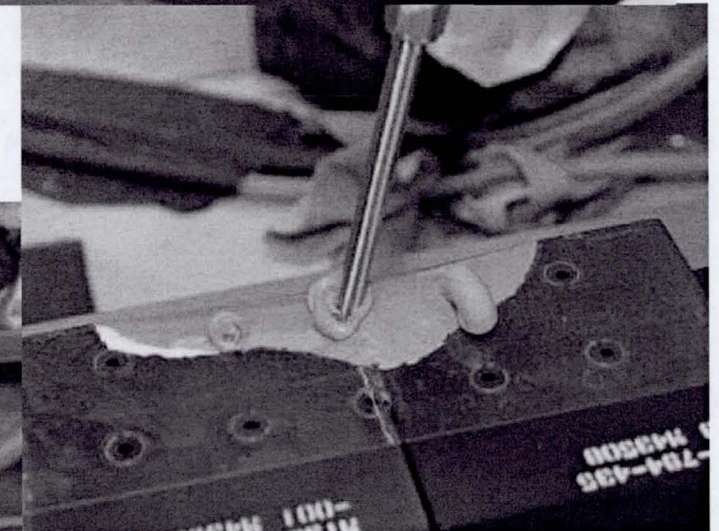


Sistema de protección termal: Losetas

- FRCI: 20 % Nextel (AB312-Alumina Borosilicate) y 80% fibras de silicona
- LI-900: pura silicona
- LI-2200: Silicona con 3% SiC
- Marco maquinado a la medida
- Nomex: llena el boquete y aísla la tensión
- Diversos revestimientos usados para controlar emisividad/absorción



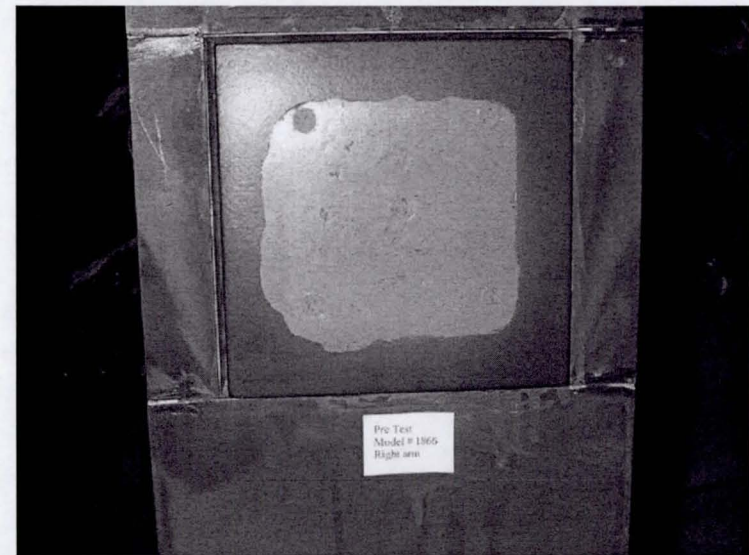
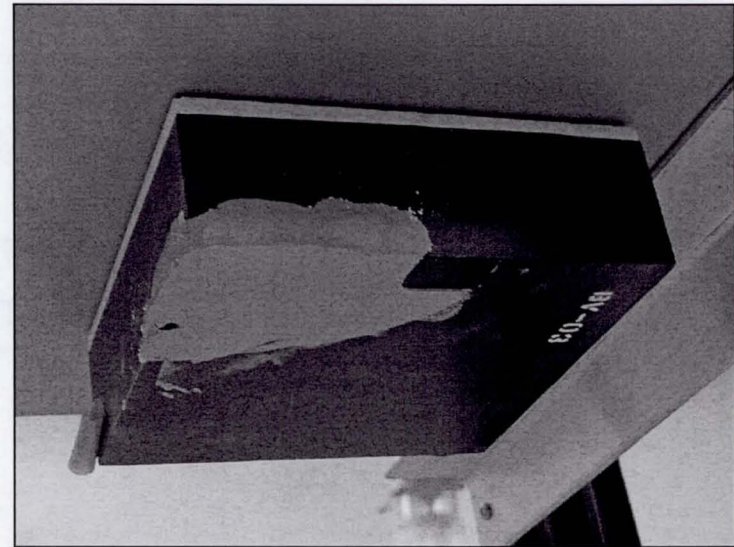
Sistema de Protección Termal. Reparación de Losetas



Sistema de Protección Termal.

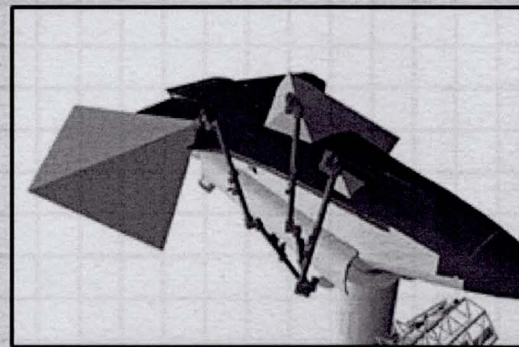
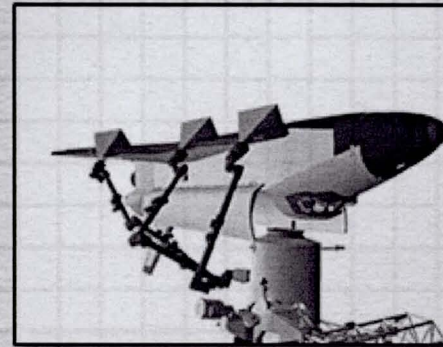
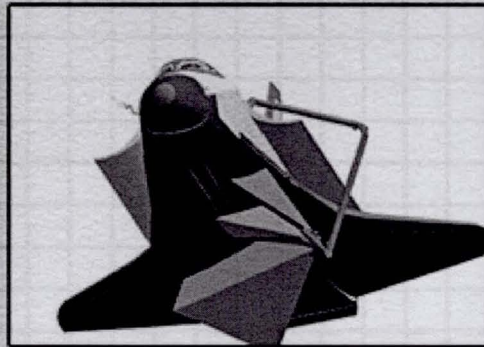
Reparación de Losetas

- Material base es RTV 511
 - Microglobos y fibras de silicona
 - Cab-o-sil
 - Diluyentes de silicón
- Ambiente
 - Tiempo de secado
 - Viscosidad
 - Vida en contenedor
 - Carga a la entrada
- Técnicas de aplicación
 - “Pistola”
 - Ninguna tensión permitida



Inspecciones en órbita

SRMS and SSRMS Inspection

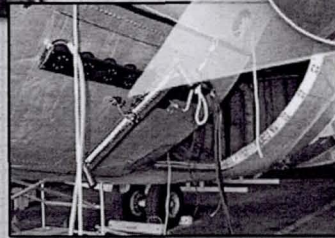
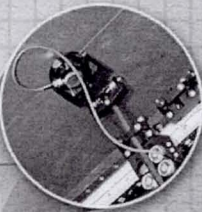


Desarrollando técnicas de inspección del ala en tierra

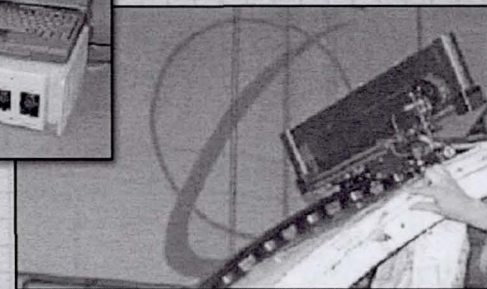
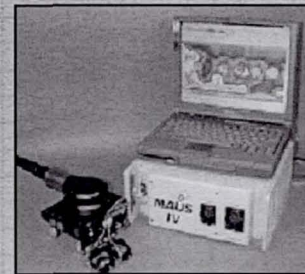
Ultrasonic Scanning Systems

MAUS System

Resonance
MIA
Pulse-echo
Pitch-catch
Eddy current



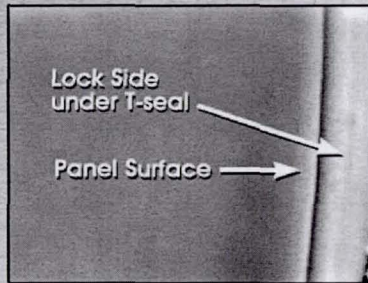
MAUS IV Flexible Track



Los resultados preliminares parecen prometedores

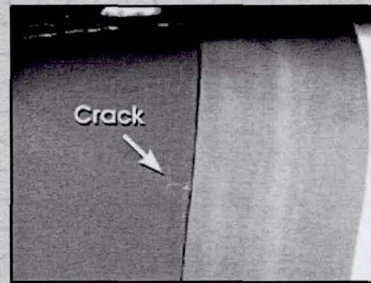
Thermography Inspections

OV-103 6L Pre Impact



Outboard (W/out T-seal)

OV-103 6L Post Impact



Outboard (W/ T-seal)

OV-103 6L Post Impact

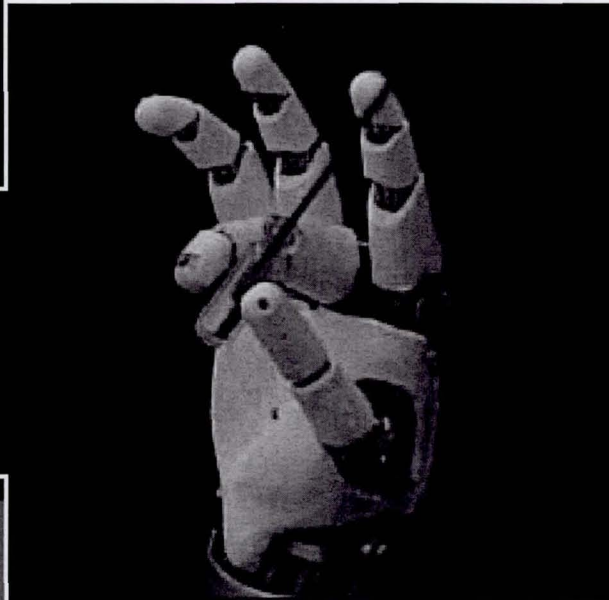
PCA Analysis of thermal data



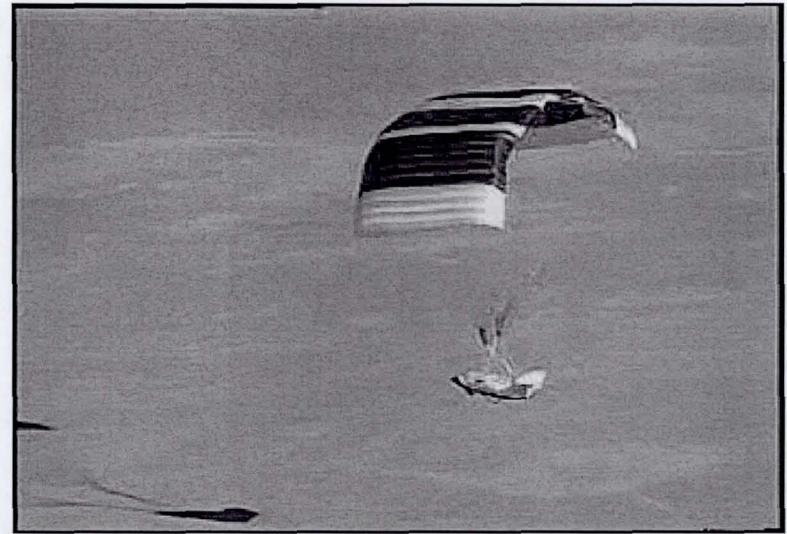
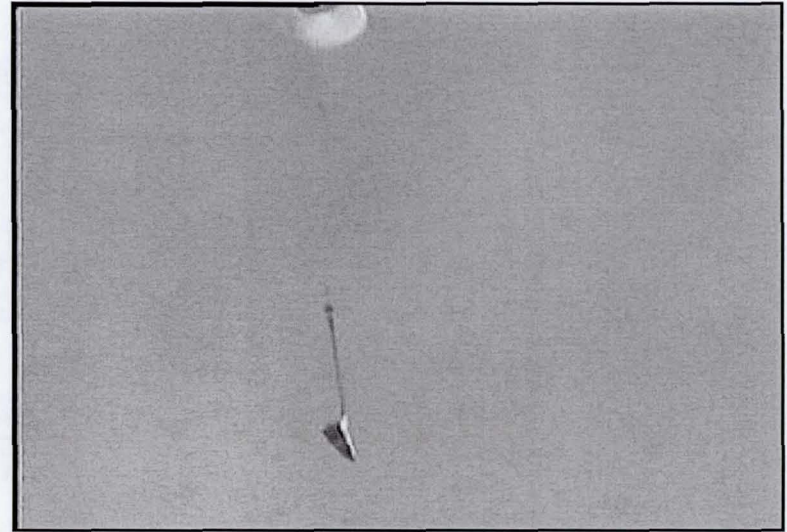
Research & Development



Robonaut



X-38 Drop Test



Resumen

El sistema de transporte STS tiene más de 20 años y aún seguimos aprendiendo de él.

Tenemos un desafío para re-certificar los vehículos para vuelo en un futuro próximo.

Seguirá siendo la preocupación del área de materiales.